

# МСЭ-R

Сектор радиосвязи МСЭ

**Рекомендация МСЭ-R F.1245-3**  
(01/2019)

**Математическая модель усредненных  
и родственных диаграмм направленности  
излучения антенн систем фиксированной  
беспроводной связи для связи пункта  
с пунктом, предназначенная  
для использования при оценке помех  
в диапазоне частот от 1 ГГц до 86 ГГц**

**Серия F**  
**Фиксированная служба**



## Предисловие

Роль Сектора радиосвязи заключается в обеспечении рационального, справедливого, эффективного и экономичного использования радиочастотного спектра всеми службами радиосвязи, включая спутниковые службы, и проведении в неограниченном частотном диапазоне исследований, на основании которых принимаются Рекомендации.

Всемирные и региональные конференции радиосвязи и ассамблеи радиосвязи при поддержке исследовательских комиссий выполняют регламентарную и политическую функции Сектора радиосвязи.

### Политика в области прав интеллектуальной собственности (ПИС)

Политика МСЭ-R в области ПИС излагается в общей патентной политике МСЭ-T/МСЭ-R/ИСО/МЭК, упоминаемой в Резолюции МСЭ-R 1. Формы, которые владельцам патентов следует использовать для представления патентных заявлений и деклараций о лицензировании, представлены по адресу: <http://www.itu.int/ITU-R/go/patents/en>, где также содержатся Руководящие принципы по выполнению общей патентной политики МСЭ-T/МСЭ-R/ИСО/МЭК и база данных патентной информации МСЭ-R.

### Серии Рекомендаций МСЭ-R

(Представлены также в онлайн-форме по адресу: <http://www.itu.int/publ/R-REC/en>.)

Серия	Название
BO	Спутниковое радиовещание
BR	Запись для производства, архивирования и воспроизведения; пленки для телевидения
BS	Радиовещательная служба (звуковая)
BT	Радиовещательная служба (телевизионная)
<b>F</b>	<b>Фиксированная служба</b>
M	Подвижные службы, служба радиоопределения, любительская служба и относящиеся к ним спутниковые службы
P	Распространение радиоволн
RA	Радиоастрономия
RS	Системы дистанционного зондирования
S	Фиксированная спутниковая служба
SA	Космические применения и метеорология
SF	Совместное использование частот и координация между системами фиксированной спутниковой службы и фиксированной службы
SM	Управление использованием спектра
SNG	Спутниковый сбор новостей
TF	Передача сигналов времени и эталонных частот
V	Словарь и связанные с ним вопросы

*Примечание.* – Настоящая Рекомендация МСЭ-R утверждена на английском языке в соответствии с процедурой, изложенной в Резолюции МСЭ-R 1.

Электронная публикация  
Женева, 2019 г.

© ITU 2019

Все права сохранены. Ни одна из частей данной публикации не может быть воспроизведена с помощью каких бы то ни было средств без предварительного письменного разрешения МСЭ.

## РЕКОМЕНДАЦИЯ МСЭ-R F.1245-3\*

**Математическая модель усредненных и родственных диаграмм  
направленности излучения антенн систем фиксированной  
беспроводной связи для связи пункта с пунктом,  
предназначенная для использования при оценке помех  
в диапазоне частот от 1 ГГц до 86 ГГц**

(Вопрос МСЭ-R 110-3/5)

(1997-2000-2012-2019)

**Сфера применения**

В настоящей Рекомендации содержатся усредненные и родственные эталонные диаграммы направленности излучения антенн систем фиксированной беспроводной связи (СФБС) для связи пункта с пунктом в диапазоне частот от 1 ГГц до 86 ГГц. Приведенные в настоящей Рекомендации результаты анализа могут быть использованы при оценке помех в отсутствие конкретной информации об антеннах СФБС.

**Ключевые слова**

Антенна, ширина луча по азимуту и углу места, кросс-поляризация, фиксированная служба, совместное использование частот, радиорелейная станция, эталонная диаграмма направленности, огибающая боковых лепестков, статистический анализ помех

**Сокращения/гlossарий**

FWS	Fixed wireless system	СФБС	Система фиксированной беспроводной связи
-----	-----------------------	------	--

**Соответствующие Рекомендации МСЭ**

Рекомендация МСЭ-R F.699 – Эталонные диаграммы направленности антенн фиксированных беспроводных систем для использования при изучении вопросов координации и оценке помех в диапазоне частот от 100 МГц до 86 ГГц

Рекомендация МСЭ-R [F.1336](#) – Эталонные диаграммы направленности всенаправленных, секторных и других антенн для фиксированной службы и подвижной службы с целью использования при изучении вопросов совместного использования частот в диапазоне от 400 МГц до примерно 70 ГГц

Ассамблея радиосвязи МСЭ,

*учитывая,*

- a) что представленные в Рекомендации МСЭ-R F.699 эталонные диаграммы направленности антенн систем фиксированной беспроводной связи (СФБС) для связи пункта с пунктом определяют огибающую максимумов боковых лепестков диаграммы направленности;
- b) что если уровни огибающей максимумов диаграммы направленности используются при оценке суммарной помехи, состоящей из многих единичных помех, то в результате значения прогнозируемой помехи будут больше, чем значения, которые существовали бы в реальности;
- c) что поэтому необходимо использовать диаграмму направленности антенны с усредненными уровнями боковых лепестков в следующих случаях:
  - для прогнозирования совокупной помехи геостационарному или негеостационарному спутнику от многих радиорелейных станций;

---

\* Настоящая Рекомендация должна быть доведена до сведения 4-й и 7-й Исследовательских комиссий по радиосвязи.

- для прогнозирования совокупной помехи радиорелейной станции от множества геостационарных спутников;
  - для прогнозирования помех радиорелейной станции от одного или нескольких негеостационарных спутников при постоянно изменяющемся угле, который необходимо усреднить;
  - в любых других случаях, при которых целесообразно использование диаграммы направленности с усредненными уровнями боковых лепестков;
- d)* что для диаграммы направленности, представляющей усредненные уровни боковых лепестков, предпочтительна простая математическая формула;
- e)* что также требуется математическая модель обобщенных диаграмм направленности излучения антенн для статистического анализа помех при участии небольшого количества источников помех, например создаваемых системам фиксированной службы геостационарными спутниками,

*рекомендует,*

**1** чтобы для целей, упомянутых в пункте *c)* раздела *учитывая*, в отсутствие конкретной информации о диаграмме направленности используемой антенны СФБС использовалась определенная ниже математическая модель усредненной диаграммы направленности;

**2** чтобы для частот в диапазоне 1–86 ГГц использовалась следующая математическая модель усредненной диаграммы направленности;

**2.1** в случаях, когда отношение диаметра антенны к длине волны превышает 100 ( $D/\lambda > 100$ ), необходимо использовать следующие уравнения (см. Примечания 1 и 7):

**2.1.1** усиление антенны  $G$  (дБи) для частот в диапазоне 1–70 ГГц:

$$\begin{aligned}
 G(\varphi) &= G_{\max} - 2,5 \times 10^{-3} \left( \frac{D}{\lambda} \varphi \right)^2 && \text{при} && 0^\circ < \varphi < \varphi_m; \\
 G(\varphi) &= G_1 && \text{при} && \varphi_m \leq \varphi < \max(\varphi_m, \varphi_r); \\
 G(\varphi) &= 29 - 25 \log \varphi && \text{при} && \max(\varphi_m, \varphi_r) \leq \varphi < 48^\circ; \\
 G(\varphi) &= -13 && \text{при} && 48^\circ \leq \varphi \leq 180^\circ;
 \end{aligned}$$

**2.1.2** усиление антенны  $G$  (дБи) для частот в диапазоне 70–86 ГГц:

$$\begin{aligned}
 G(\varphi) &= G_{\max} - 2,5 \times 10^{-3} \left( \frac{D}{\lambda} \varphi \right)^2 && \text{при} && 0^\circ < \varphi < \varphi_m; \\
 G(\varphi) &= G_1 && \text{при} && \varphi_m \leq \varphi < \max(\varphi_m, \varphi_r); \\
 G(\varphi) &= 29 - 25 \log \varphi && \text{при} && \max(\varphi_m, \varphi_r) \leq \varphi < 120^\circ; \\
 G(\varphi) &= -23 && \text{при} && 120^\circ \leq \varphi \leq 180^\circ,
 \end{aligned}$$

где:

$G_{\max}$ : максимальное усиление антенны (дБи) (см. Примечание 2);

$G(\varphi)$ : усиление (дБи) относительно изотропной антенны;

$\varphi$ : угол отклонения от оси (градусы);

$D$ : диаметр антенны }  
 $\lambda$ : длина волны } выраженные в одних и тех же единицах;

$G_1$ : коэффициент усиления первого бокового лепестка  
 $= 2 + 15 \log(D/\lambda)$ ;

$$\varphi_m = \frac{20 \lambda}{D} \sqrt{G_{\max} - G_1} \quad \text{градусы;}$$

$$\varphi_r = 12,02 (D/\lambda)^{-0,6} \quad \text{градусы;}$$

**2.2** в случаях, когда отношение диаметра антенны к длине волны меньше или равно 100 ( $D/\lambda \leq 100$ ), необходимо использовать следующие уравнения (см. Примечания 3 и 7):

**2.2.1** усиление антенны  $G$  (дБи) для частот в диапазоне 1–70 ГГц:

$$G(\varphi) = G_{\max} - 2,5 \times 10^{-3} \left( \frac{D}{\lambda} \varphi \right)^2 \quad \text{при} \quad 0^\circ < \varphi < \varphi_m;$$

$$G(\varphi) = 39 - 5 \log(D/\lambda) - 25 \log \varphi \quad \text{при} \quad \varphi_m \leq \varphi < 48^\circ;$$

$$G(\varphi) = -3 - 5 \log(D/\lambda) \quad \text{при} \quad 48^\circ \leq \varphi \leq 180^\circ;$$

**2.2.2** усиление антенны  $G$  (дБи) для частот в диапазоне 70–86 ГГц:

$$G(\varphi) = G_{\max} - 2,5 \times 10^{-3} \left( \frac{D}{\lambda} \varphi \right)^2 \quad \text{при} \quad 0^\circ < \varphi < \varphi_m;$$

$$G(\varphi) = 39 - 5 \log(D/\lambda) - 25 \log \varphi \quad \text{при} \quad \varphi_m \leq \varphi < 120^\circ;$$

$$G(\varphi) = -13 - 5 \log(D/\lambda) \quad \text{при} \quad 120^\circ \leq \varphi \leq 180^\circ;$$

**3** предварительно указать, что в Приложении 1 содержатся обобщенные диаграммы направленности излучения антенн СФБС для связи пункта с пунктом, которые могут быть использованы для статистического анализа помех при участии небольшого количества источников помех, например создаваемых системам фиксированной службы геостационарными спутниками (см. Примечание 9);

**4** чтобы следующие примечания рассматривались как часть настоящей Рекомендации.

ПРИМЕЧАНИЕ 1. – Усредненные уровни боковых лепестков, приведенные в пункте 2.1, на 3 дБ ниже, чем уровни огибающей максимумов боковых лепестков диаграммы направленности, указанные в пункте 2.1 Рекомендации МСЭ-R F.699.

ПРИМЕЧАНИЕ 2. – Взаимосвязь между  $G_{\max}$  и  $D/\lambda = 20 \log \frac{D}{\lambda} \approx G_{\max} - 7,7$ ; см. пункт 3 раздела *рекомендует* Рекомендации МСЭ-R F.699.

ПРИМЕЧАНИЕ 3. – Математическая модель, приведенная в пункте 2.2, была выведена при условии, что общая излучаемая мощность антенны не должна превышать общей мощности, поступающей в антенну.

ПРИМЕЧАНИЕ 4. – Диаграмма направленности, упомянутая в пункте 2, применима только для одной совпадающей поляризации.

ПРИМЕЧАНИЕ 5. – Диаграмма направленности, включенная в настоящую Рекомендацию, применима только для поворотной-симметричных антенн. Ее также можно применять для квадратных/многоугольных зеркальных и плоскочастотных антенн, при условии что их эквивалентное отношение  $D/\lambda$  получено из максимального усиления по формуле, приведенной в пункте 3 раздела *рекомендует* Рекомендации МСЭ-R F.699.

ПРИМЕЧАНИЕ 6. – Усредненная диаграмма направленности, приведенная в настоящей Рекомендации, может несколько отличаться от диаграмм направленности реальных антенн. Единственной целью настоящей Рекомендации является предоставление математической модели для использования при оценке помех для применений, упомянутых в пункте с) раздела *учитывая*.

ПРИМЕЧАНИЕ 7. – В радиорелейных антеннах обычно используется линейная поляризация. Следовательно, при оценке помех от системы, использующей одну круговую поляризацию, как, например, в случае взаимодействия главного лепестка с главным лепестком от космических станций, эффективное усиление радиорелейной антенны  $G_{\text{eff}}(\varphi)$ , учитывая выигрыш от поляризации, можно приблизительно рассчитать с помощью следующей формулы в пределах 3 дБ от осевого направления в области главного лепестка ( $0 < \varphi < \varphi_{3 \text{ дБ}}$ ) вместо первой формулы, приведенной в пунктах 2.1 или 2.2, как показано в Приложении 2:

$$G_{\text{eff}}(\varphi) = G(\varphi) - 1,7 \quad \text{дБи,}$$

где  $G(\varphi)$  – усиление в соответствии с первой формулой, приведенной в пунктах 2.1 и 2.2.

В приведенной выше формуле предполагается, что усиление кросс-поляризованной антенны при  $0^\circ < \varphi < \varphi_{3\text{дБ}}$  на 20 дБ меньше, чем  $G_{\text{max}}$ . Не следует ожидать выигрыша от поляризации при  $\varphi > \varphi_{3\text{дБ}}$  или в случае, если радиорелейная станция находится за пределами главного лепестка антенны другой службы.

Угол  $\varphi_{3\text{дБ}}$  (то есть половина ширины луча по уровню 3 дБ), при котором усиление для совпадающей поляризации на 3 дБ ниже максимального усиления  $G_{\text{max}}$ , можно рассчитать путем замены  $G(\varphi)$  на  $G_{\text{max}} - 3$  дБ в выражении для  $G(\varphi)$  при  $0^\circ < \varphi < \varphi_m$ :

$$\phi_{3\text{дБ}} \approx \frac{35}{\left(\frac{D}{\lambda}\right)}$$

ПРИМЕЧАНИЕ 8. – Членам МСЭ-R настоятельно рекомендуется представлять информацию, в которой усредненные уровни боковых лепестков и обобщенные диаграммы направленности, приведенные в настоящей Рекомендации, сравниваются с теми, которые получены при измерении диаграммы направленности реальных антенн. Эта информация может помочь при доработке настоящей Рекомендации.

ПРИМЕЧАНИЕ 9. – Членам МСЭ-R настоятельно рекомендуется изучить практическую возможность расширения области применения модели, приведенной в Приложении 1.

## Приложение 1

### Математическая модель обобщенных диаграмм направленности излучения антенн систем связи пункта с пунктом фиксированной службы, предназначенная для использования при статистической оценке помех

#### 1 Введение

В Рекомендации МСЭ-R F.699 приведены эталонные диаграммы направленности излучения антенн систем связи пункта с пунктом фиксированной службы, основанные на уровнях огибающей максимумов боковых лепестков. Ввиду этого оценка помех с использованием этой Рекомендации может привести к получению завышенной оценки помех.

С другой стороны, в основном тексте настоящей Рекомендации приводится математическая модель усредненных диаграмм направленности антенн систем связи пункта с пунктом фиксированной службы, представляющих усредненные уровни боковых лепестков. Вместе с тем эта модель может применяться только в случае нескольких источников помех или источников помех, уровень которых изменяется во времени.

Требуется математическая модель обобщенных диаграмм направленности антенн, предназначенная для использования в пространственном статистическом анализе, например модель, в которой выводится функция распределения вероятностей помех, создаваемых небольшим количеством спутниковых систем ГСО большому количеству систем или станций фиксированной службы, испытывающих помехи.

#### 2 Антенны, у которых отношение $D/\lambda$ превышает 100

Эталонная диаграмма направленности антенн с отношением  $D/\lambda$ , превышающим 100, которая представляет уровни огибающей максимумов боковых лепестков, приведена в пункте 2.1 раздела *рекомендует* Рекомендации МСЭ-R F.699. В соответствии с пунктом 2.1 раздела *рекомендует* Рекомендации F.699 усредненный уровень бокового лепестка на 3 дБ ниже уровня огибающей

максимумов боковых лепестков. По-видимому, есть основания предполагать, что реальные уровни боковых лепестков изменяются синусоидально. Поэтому реальная диаграмма направленности будет определяться следующим выражением:

усиление антенны  $G$  (дБи) для частот в диапазоне 1–70 ГГц:

$$G(\varphi) = \max [G_a(\varphi), G_b(\varphi)] \quad \text{при} \quad 0 \leq \varphi < \varphi_r; \quad (1a)$$

$$G(\varphi) = 32 - 25 \log \varphi + F(\varphi) \quad \text{при} \quad \varphi_r \leq \varphi < 48^\circ; \quad (1b)$$

$$G(\varphi) = -10 + F(\varphi) \quad \text{при} \quad 48^\circ \leq \varphi \leq 180^\circ; \quad (1c)$$

усиление антенны  $G$  (дБи) для частот в диапазоне 70–86 ГГц:

$$G(\varphi) = \max [G_a(\varphi), G_b(\varphi)] \quad \text{при} \quad 0 \leq \varphi < \varphi_r; \quad (1a1)$$

$$G(\varphi) = 32 - 25 \log \varphi + F(\varphi) \quad \text{при} \quad \varphi_r \leq \varphi < 120^\circ; \quad (1b1)$$

$$G(\varphi) = -20 + F(\varphi) \quad \text{при} \quad 120^\circ \leq \varphi \leq 180^\circ, \quad (1c1)$$

где:

$$G_a(\varphi) = G_{max} - 2,5 \times 10^{-3} \left( \frac{D}{\lambda} \varphi \right)^2; \quad (1d)$$

$$G_b(\varphi) = G_1 + F(\varphi); \quad (1e)$$

$$G_1 = 2 + 15 \log (D/\lambda) \quad \text{дБ}; \quad (2a)$$

$$\varphi_r = 15,85 \left( \frac{D}{\lambda} \right)^{0,6} \quad \text{градусы}; \quad (2b)$$

$$F(\varphi) = 10 \log \left( 0,9 \sin^2 \left( \frac{3 \pi \varphi}{2 \varphi_r} \right) + 0,1 \right) \quad \text{дБ}. \quad (2c)$$

При этом предполагается, что  $\varphi_r$  соответствует внеосевому углу максимума первого бокового лепестка, а фаза при  $\varphi = \varphi_r$  равна  $1,5\pi$ . Следует отметить, что аргумент синусоидальной функции в уравнении (2с) выражен в радианах, а  $F(\varphi)$  принимает близкое к нулю или отрицательное значение.  $F(\varphi) = 0$  соответствует максимумам боковых лепестков. Параметр 0,1 введен в уравнении (2с) для недопущения ситуации, при которой  $F(\varphi)$  опускается ниже  $-10$  дБ.

### 3 Антенны, у которых отношение $D/\lambda$ меньше или равно 100

В случае антенн, у которых отношение  $D/\lambda$  меньше или равно 100, опять предполагается, что уровни максимумов боковых лепестков на 3 дБ выше, чем усредненный уровень боковых лепестков, приведенный в основном тексте настоящей Рекомендации.

Таким образом, в качестве обобщенной диаграммы направленности антенны, у которой отношение  $D/\lambda$  меньше или равно 100, представлена следующая диаграмма направленности:

усиление антенны  $G$  (дБи) для частот в диапазоне 1–70 ГГц:

$$G(\varphi) = \max [G_a(\varphi), G_b(\varphi)] \quad \text{при} \quad 0 \leq \varphi < \varphi_r; \quad (3a)$$

$$G(\varphi) = 42 - 5 \log (D/\lambda) - 25 \log \varphi + F(\varphi) \quad \text{при} \quad \varphi_r \leq \varphi < 48^\circ; \quad (3b)$$

$$G(\varphi) = -5 \log (D/\lambda) + F(\varphi) \quad \text{при} \quad 48^\circ \leq \varphi \leq 180^\circ; \quad (3c)$$

усиление антенны  $G$  (дБи) для частот в диапазоне 70–86 ГГц:

$$G(\varphi) = \max [G_a(\varphi), G_b(\varphi)] \quad \text{при} \quad 0 \leq \varphi < \varphi_r; \quad (3a1)$$

$$G(\varphi) = 42 - 5 \log (D/\lambda) - 25 \log \varphi + F(\varphi) \quad \text{при} \quad \varphi_r \leq \varphi < 120^\circ; \quad (3b1)$$

$$G(\varphi) = -10 - 5 \log(D/\lambda) + F(\varphi) \quad \text{при} \quad 120^\circ \leq \varphi \leq 180^\circ, \quad (3c1)$$

где:

$$G_a(\varphi) = G_{max} - 2,5 \times 10^{-3} \left( \frac{D}{\lambda} \varphi \right)^2; \quad (3d)$$

$$G_b(\varphi) = G_1 + F(\varphi); \quad (3e)$$

$$G_1 = 2 + 15 \log(D/\lambda) \quad \text{дБ}; \quad (4a)$$

$$\varphi_r = 39,8 \left( \frac{D}{\lambda} \right)^{-0,8} \quad \text{градусы}; \quad (4b)$$

$$F(\varphi) = 10 \log \left( 0,9 \sin^2 \left( \frac{3 \pi \varphi}{2 \varphi_r} \right) + 0,1 \right) \quad \text{дБ}. \quad (4c)$$

Вновь следует отметить, что аргумент синусоидальной функции в уравнении (4с) выражен в радианах, а  $F(\varphi)$  принимает близкое к нулю или отрицательное значение.  $F(\varphi) = 0$  соответствует максимумам боковых лепестков. Параметр 0,1 введен в уравнении (4с) по той же причине, что и в уравнении (2с).

#### 4 Вывод

Уравнения (1а) – (1е) (вместе с уравнениями (2а) – (2с)) и уравнения (3а) – (3е) (вместе с уравнениями (4а) – (4с)) представлены в качестве математических моделей обобщенных диаграмм направленности излучения антенн систем связи пункта с пунктом фиксированной службы, предназначенных для использования при статистической оценке помех.

## Приложение 2

### Получение $G_{eff}(\varphi)$ , указанного в Примечании 7 относительно выигрыша от поляризации при взаимодействии систем с линейной поляризацией и систем с круговой поляризацией

#### 1 Введение

В антеннах радиорелейных станций обычно используется линейная поляризация. Следовательно, при поступлении помехи от системы, использующей круговую поляризацию, в антенны радиорелейных станций важно оценить потери рассогласования между круговой и линейной поляризацией или выигрыш от поляризации при взаимодействии систем с линейной поляризацией и систем с круговой поляризацией. В идеальном случае потери рассогласования между круговой и линейной поляризацией составят 3 дБ. В реальных системах будет достигнута несколько меньшая поляризационная развязка, чем в идеальной ситуации.

В настоящем Приложении рассматривается получение значения потерь рассогласования между круговой и линейной поляризацией в практических случаях.

## 2 Уравнение потерь на поляризацию в идеальных антеннах

В идеальных антеннах потери на поляризацию (в дБ) обычно задаются следующим выражением:

$$L_p = -10 \log \left( \frac{1}{2} + \frac{4R_w R_a + (R_w^2 - 1)(R_a^2 - 1) \cos 2\Delta\tau}{2(R_w^2 + 1)(R_a^2 + 1)} \right),$$

где:

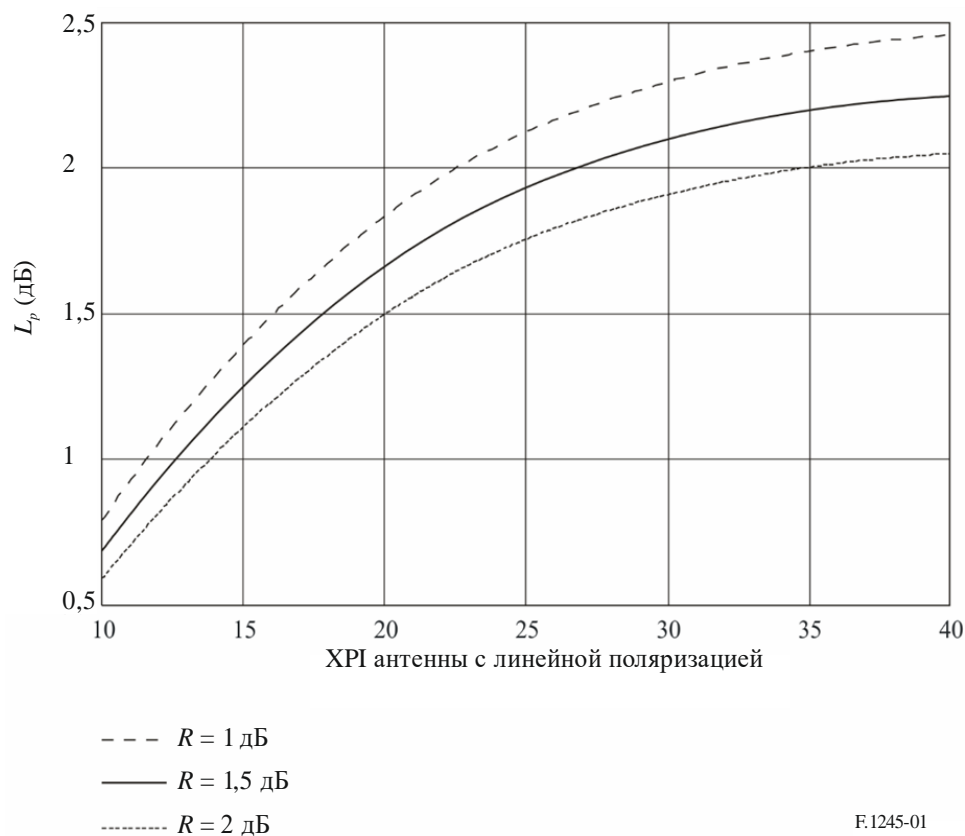
- $L_p$ : потери на поляризацию;
- $R_w$ : коэффициент эллиптичности радиоволны по напряжению;
- $R_a$ : коэффициент эллиптичности антенны по напряжению;
- $\Delta\tau$ : угол между углом наклона эллипса поляризации антенны и углом наклона эллипса поляризации падающей волны; оба угла отсчитываются от горизонтальной плоскости на поверхности Земли. Для целей настоящего анализа предполагается, что  $\Delta\tau = 0$ , что является самым консервативным случаем.

Для антенны с круговой поляризацией коэффициент эллиптичности по напряжению, как правило, указывается в децибелах. Эти члены связаны соотношением  $R(\text{дБ}) = 20 \log(|R_w|)$ . Для антенны с линейной поляризацией коэффициент эллиптичности в децибелах эквивалентен величине кросс-поляризационной развязки, определяемой из следующего соотношения:  $\text{ХРП}(\text{дБ}) = 20 \log(|R_a|)$ .

На приведенном ниже рисунке 1 показан график зависимости потерь на поляризацию  $L_p$  от кросс-поляризационной развязки (ХРП) для трех значений коэффициента эллиптичности антенны с круговой поляризацией  $R$ . Данная кривая не зависит от частоты.

РИСУНОК 1

Зависимость потерь на поляризацию от ХРП для разных значений  $R$



Соответствующее значение  $L_p$  будет зависеть от характеристик антенн с линейной и круговой поляризацией во всем диапазоне частот от 1 ГГц до 86 ГГц.

### 3 Примеры данных по ХРІ

В таблицах 1 и 2 приведены примеры данных по ХРІ для антенн фиксированной службы двух администраций. В таблице 1 содержится краткая информация из базы данных по лицензированию одной администрации для ряда полос частот примерно от 1 ГГц до 40 ГГц, в таблице 2 приведены другие данные по ХРІ, основанные на разных типах антенн, используемых в другой администрации в полосах частот примерно от 6 ГГц до 22 ГГц.

ТАБЛИЦА 1

#### Пример данных по ХРІ в одной администрации

Полоса (ГГц)	Количество зарегистрированных антенн	ХРІ, 5-й процентиль (дБ)	ХРІ, 10-й процентиль (дБ)	ХРІ, медианное значение (дБ)
0,953–1,525	484	12	20	30
1,7–2,7	698	20	20	30
3,4–5,0	280	15	20	30
5,85–7,125	532	20	28	30
7,125–7,725	403	24	28	30
7,725–8,5	213	30	30	30
10,5–10,68	151	28	30	30
10,7–11,7	202	20	25	30
12,7–13,25	209	25	25	30
14,5–15,35	172	28	30	30
17,7–19,7	181	27	30	30
21,2–23,6	164	25	28	30
24,25–25,25	8	30	30	32
24,35–28,35	4	30	30	32
28,6–40,0	30	23	26	30

ТАБЛИЦА 2

#### Пример данных по ХРІ в другой администрации

Полоса (ГГц)	Количество типов антенн	Количество развернутых антенн	ХРІ, 10-й процентиль (дБ)	ХРІ, среднее значение (дБ)
5,925–7,75	11	600	25	29
10,7–15,23	27	5 700	32	35
17,85–23,2	13	2 806	26	28

Согласно этим данным целесообразно предположить, что на частотах до 40 ГГц минимальное значение ХРІ равно 20 дБ.

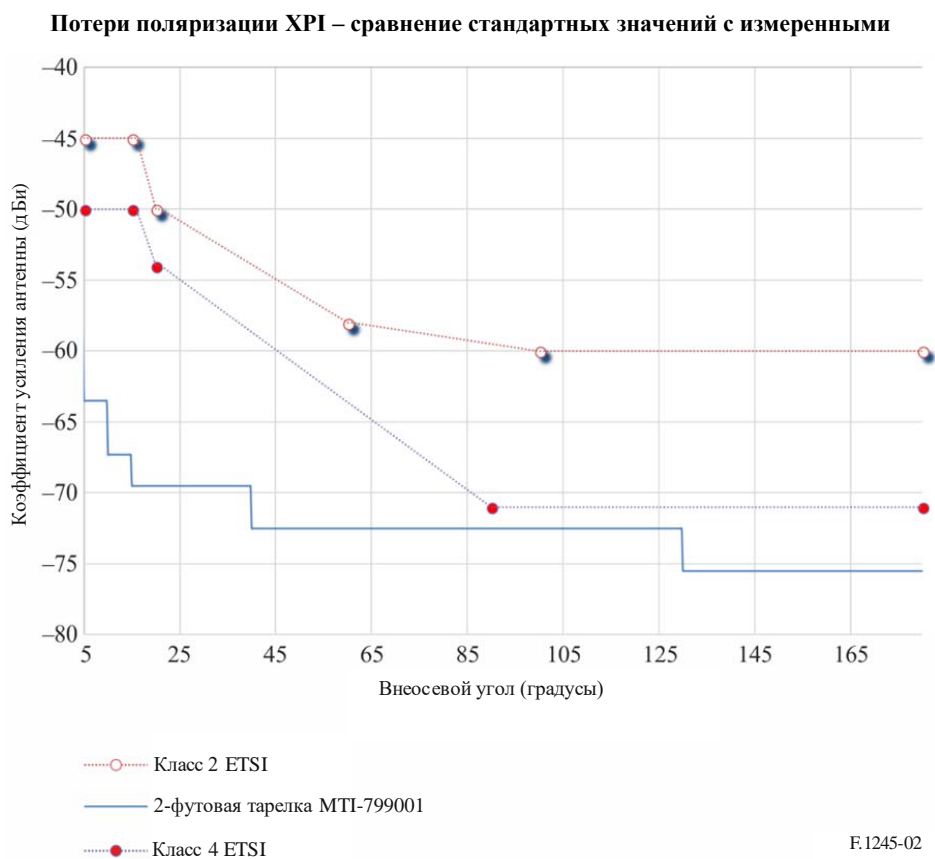
На частотах выше 40 ГГц ожидается улучшение характеристик кросс-поляризации с увеличением частоты и усиления. Поэтому в соответствии с пунктом 2 раздела *рекомендует* можно сделать предварительный вывод о возможности использования минимального значения ХРІ, превышающего 20 дБ, и на частотах от 40 ГГц до 86 ГГц.

#### 4 Совпадающая поляризация и сравнение уравнений XPI с результатами измерений

На рисунке 2 проведено сравнение значений XPI (дБ) на частоте 72 ГГц:

- 1) классы 2 и 4 ETSI;
- 2) измеренные значения вертикальной/горизонтальной поляризации 2-футовой тарелки МТ-799001 71–76 ГГц, 50 дБи, 0,45°.

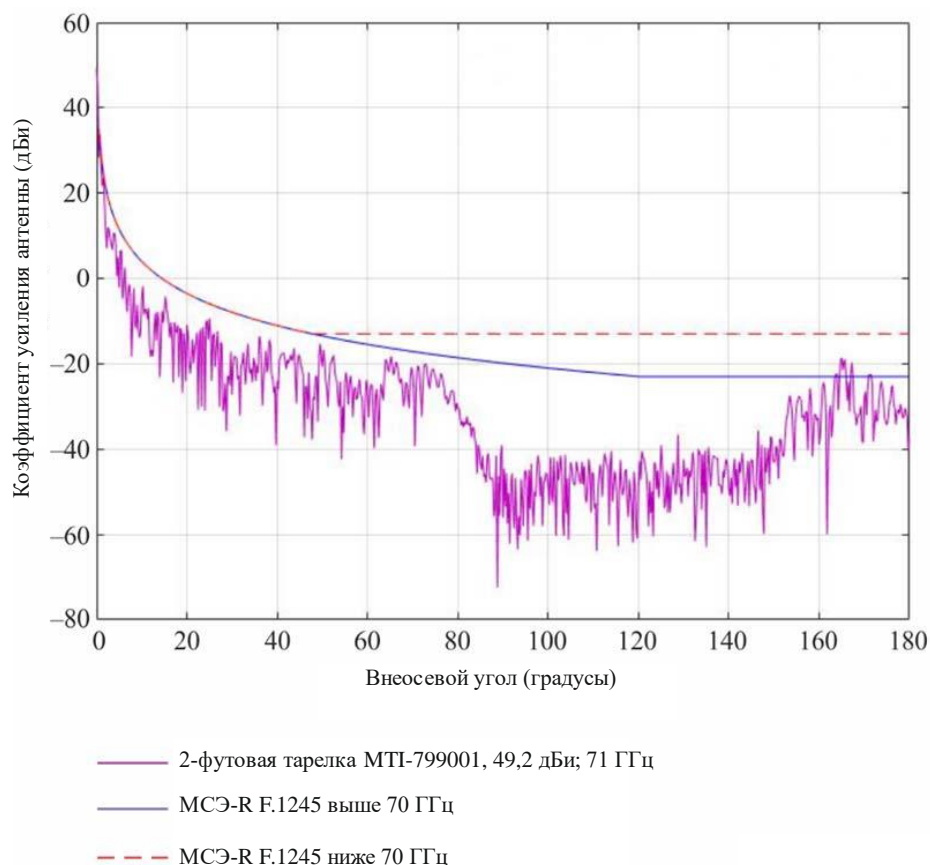
РИСУНОК 2



На рисунке 3 измеренная диаграмма направленности антенны  $D/\lambda = 140$  на частоте 71 ГГц сравнивается с результатами, полученными с использованием уравнений, приведенных в пункте 2.1.1 раздела *рекомендует* для частот ниже 70 ГГц и в пункте 2.1.2 для частот выше 70 ГГц.

РИСУНОК 3

Сравнение измеренной диаграммы направленности антенны на частоте 71 ГГц с результатами, полученными с использованием уравнений для частот ниже и выше 70 ГГц



F.1245-03

## 5 Вывод

С учетом таблиц 1 и 2 значение XPI антенны радиорелейной станции 20 дБ представляется подходящим при частоте ниже 40 ГГц. Вместе с тем современные антенны обеспечивают более высокое значение XPI. С учетом рисунка 1 при значении XPI, равном 20 дБ, и ориентировочном максимальном коэффициенте эллиптичности создающей помехи антенны с круговой поляризацией ( $R$ ), равном 1,5 дБ, который применим вблизи опорного направления антенн космических станций, не осуществляющих повторное использование частот путем ортогональной поляризации и работающих в полосах частот примерно от 2 ГГц до 30 ГГц, потери на поляризацию составят 1,7 дБ. Данное значение применимо только в пределах ширины луча антенны по уровню 3 дБ для антенны радиорелейной станции и вблизи опорного направления антенн космических станций и должно быть применимо на частотах от 1 ГГц до 86 ГГц.